

## 曲線流の乱れの特性

京大防災研究所 正員 ○村本嘉雄

“ “ “ 塩入淑史

曲線流における平均流の流速特性は近年多くの実験によ、<sup>2</sup>明治61年山、<sup>3</sup>の理論的裏付けを示すものがある。しかし、乱山の特性については、<sup>2</sup>二次元曲線水路における実測値は少く、平均流との関連も明確化せず、<sup>2</sup>ない。ところが、壁面の shear の影響を受けて著しい二次波の存在する曲線流においては、乱れの測定結果はほとんど示されておらず、統括散の実測値から若干の推察がなされている程度である。<sup>2</sup>これは、同じく45度の曲線水路で水路中一水深比の土の流れにおける主流成分の乱れの測定結果からその特性を検討する。

実験の概要 実験水路は巾50cmの塩化ビニール製であり、上、下流11mの直線水路の間に偏角180°、中心曲率半径150cmの曲線部が挿入されており、路床勾配は1/200である。水理条件は流速18.4cm/sec、流入部の水深4.5cm( $Re=3.72 \times 10^4$ ,  $Fr=1.19$ )である。また、内壁45度近より流れが斜面に生じてあり、60°～150°間で平均2.5cmの水位上昇部が現われている。乱れの測定には時定数0.1sec、直径1.5mmの回転式流速計を用いた。測定は半径方向の分布を詳細に検討することを主眼とし、-2m, 0, 30, 90, 180°の5断面で横方向11～13束、鉛直方向は底面より1.5～2.0cmの1束とした。曲線部では接線方向の流速計を設置した。この測定範囲では接線方向に対する流向は比較的よく、<sup>2</sup>測定計に対する流れの影響は無視できると確認された。また、0, 30°断面で鉛直方向3束の測定を補足的に行なった。記録時間は25～30sec、読み取り時間间隔は約0.1secである。統計解析には2004データーを用いた。

実験結果とその検討 (1) 平均流速と乱山の強度の分布；2) 水理条件における平均流の流速特性は、主流の最大流速点は60°付近で水路中心より外方へ遷移し、二次波の発生域の限界はほぼ70°である。<sup>2</sup>図-1, 2に主流の平均流速、乱山の強度の半径方向の分布が示される。曲線部における乱山の強度は剥離の影響を受けた壁近くで除して接線方向に急激に減少している。-2m付近の断面より乱山の強度の減少率は-2m付近の測定位置より高くなるようだ。乱山の強度の半径方向の分布はほぼ一様である。また、乱山に対する側壁 shear の影響がどの程度あるかの半径方向分布を述べると、作用基準寸法の流れへの寄与性の影響は壁面の現れにくくである。一方、30°付近で若干外方へ増大しているのはURの分布が安定域の不適定域へ進むことによるものである。側壁 shear の影響がどの程度受けているかは説明できない。

(2) 自己相似曲線と乱山の特性；<sup>2</sup>図-3, 4は $x=0, 180^\circ$ における自己相似曲線を示したものである。また、すべて $N=200, m=20$ で計算した。 $x=0, R(2)$ は側壁近く $0\sim10$ cmの範囲で中央部のR比は $R(2)=0\sim1$ で降下が早く、側壁 shear の影響による乱山の特性の減少を示す。<sup>2</sup>また、 $x=0, x=180^\circ$ のR(2)は174.3と175cmである。 $x=0, 1sec$ では $R(2)=0, 1$ で $R(2)=0, 2$ であり、 $x=0, 1$ のR比は乱山の特性の減少率は急激に減少している。 $126.5\leq x\leq 130$ cm付近では、側壁 shear の特性、側壁 shear の影響による上海の剥離の影響が大きくなり、R(2)

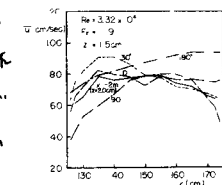


図-1

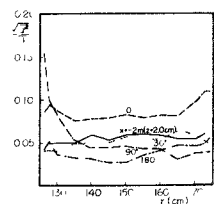


図-2

の変化は  $x=0$  の固測量。しかし土は二層の中子C量、2.11%。また、 $x=30^\circ$ ,  $90^\circ$ では全体として面積の半分の特性を示すが、 $x=30^\circ$ のR(z)は内壁より外壁近くで  $z=0$ 付近へと配分率が遠心力不考慮の影響が甚しが、 $x=90^\circ$ では  $R(z)<130\text{ cm}$ の後壁より剥離域の特性が強く現れ、 $T=2\text{ sec}$   $\tau^2$ のR(z) > 0となる。このように曲線部では  $T<0.1\text{ sec}$ のR(z)を取るには事があるが、これは甲の螺旋部の測定限界を  $T=1\text{ sec}$ 、乙のA-1ルート  $T=2\text{ sec}$ 正確な検針は難点である。(図-5はR(z)に対する曲線の傾向の便宜的な表示法であり、 $R(z)=0.3$ を基準のT=0.3を用いてセミスケール  $L_x=0.831T_0.3\bar{U}$ を取ったものである。 $x=-2m, 0^\circ$ は、中央部で  $L_x=(2-3)h$ であり、通常の平均沿長のorderは3か4である。曲線部では直線部1/2比の螺旋部Lxの減少、剥離の影響域を除く半径方(5)ル13倍<sup>2</sup>一様な分布を示す。 $30^\circ$ におけるは乱れの強度と場合と同様に外方へ若干A-1ルート増大するの定量的のは明らかでない。

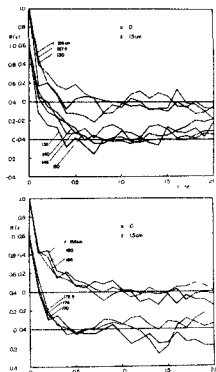


图 - 3

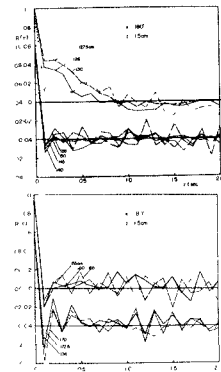


图 - 4

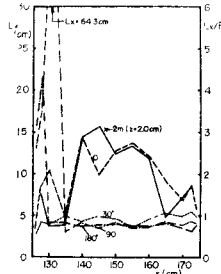


图-5

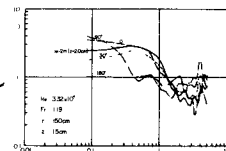


图-6

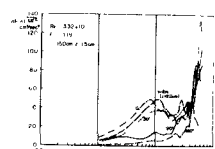


图-7

以上、測定結果より乱れ特性を要約すると、曲線流では乱れの倍周波数成分の減衰率より、 $\tau$  乱れの強度、スケールが小さくなる。ところが、乱れのスケールの減少率が著しくなく、それによるとエネルギー損失は直線流より増大するものである。こうした乱れの減衰の様相は、曲線部後半では主流の平均流速分布の変化に対応しており、それによると、 $\tau$  乱れの強度が、流入部付近では平均流速の特性だけから推察するほどではない、二次流れ成分の寄与が大きくなる。こうした現象は二次流れの存在する曲線流において物質の輸送係数の増大するこ $\tau$  と関係しており、また水路隔壁角部における乱れの強度の減衰を整理化した現象と考えられる。